

### III-279 比掘削抵抗 $R_s$ による締固め施工管理について

京都大学大学院 学生員 ○建山 和由  
 京都大学工学部 正員 島 昭治郎  
 京都大学大学院 学生員 納多 勝

1. まえがき 一般に、盛土などの土工における締固め施工管理の方法としては、土の含水比と乾燥密度によってきた。しかし、これら締固められた土に対して最終的に要求されるものは強度や透水係数などの工学的性質であるため、これら工学的性質から締固め度を調べても適確な判定ができると考えられる。そこで以下では、前報に引き続き<sup>1)</sup>地盤を掘削するときの掘削抵抗の大小を表わす指標である比掘削抵抗  $R_s$  による締固め度の判定について研究をおこなったので報告する。

2. 土の締固め度と強度について 土を締固める場合、含水比により締固め効果は異なり、通常、上に凸の締固め曲線を呈する。しかし、強度が最大になる含水比は、乾燥密度が最大になる含水比（最適含水比  $W_{opt}$ ）より少し低いといわれている。締固め施工は通常、最適含水比かそれより少し高い含水比でおこなわれることが多いため、この領域では含水比が多少変動しても、強度と乾燥密度は一対一に対応することになる。（図-1 参照）すなわち強度によつても地盤の締固め度を判定できると考えられる。現場において地盤の強度を測定する方法としては、平板載荷試験（K 値）、コーン試験、塑性剤の貫入試験などがあるが、締固め施工管理の方法である以上、簡単に測定でき、かつ、まき出し厚さが 30 cm 程度であることを考えるなら、比較的表面に近いところの土を対象にする必要がある。

3. 比掘削抵抗  $R_s$  について 比掘削抵抗  $R_s$  は、地盤を掘削する場合、掘削のしやすさを表わす指標であり、原位置試験の一種である。方法は地盤に鉛直に薄板を貫入し、地表面を固定支点としてこれを転倒させ、このときの転倒抵抗を測定する。そして次式により比掘削抵抗  $R_s$  を定義するものである。（図-2 参照）

$$R_s = \frac{P \cdot l}{B \cdot Z^3} \quad (1) \quad R_s: \text{比掘削抵抗 (MN/m}^3\text{)}, Z: \text{測定板の貫入深さ (m)} \\ P \cdot l: \text{転倒モーメント (N \cdot m)}, B: \text{測定板の幅 (m)}$$

実際にこの  $R_s$  の測定をおこなうと、測定板前面の土は板の幅より大きい範囲で掘り起こされるが、ここでは簡単のため図-2 に示すように、測定板の幅で、円柱の  $\frac{1}{4}$  の形の部分が掘り起こされる仮定する。そしてこの仮定のもとに、 $R_s$  の値と乾燥密度との関係について考えてみる。

まず、土のせん断抵抗では、 $T = C + \sigma \tan \phi$  ( $C$ : 土の粘着力,  $\phi$ : 内部摩擦角) で表わされるとし、地中の応力は静水圧的に分布するものとする。次に図-2 の  $\frac{1}{4}$  円柱部分の両側部分にかかるモーメント  $M_1$  を求める。微小部分  $dS_1$  にかかるせん断抵抗を側面全体にわたって積分することにより、土が板の転倒をさまたげようとする抵抗モーメントの総和を求める(2)式のようになる。ただし  $\gamma$  は土の単位体積重量

$$M_1 = \frac{\pi \cdot C}{6} Z^3 + \gamma \frac{Z^4}{4} \tan \phi \quad (2)$$

$$M_2 = \frac{\pi \cdot B \cdot C}{2} Z^2 + B \cdot \gamma \cdot Z^3 \tan \phi \quad (3)$$

$$M = 2M_1 + M_2 = \pi \cdot C \cdot Z^2 \left( \frac{Z}{3} + \frac{B}{2} \right) + \gamma \cdot Z^3 \left( \frac{Z}{2} + B \right) \tan \phi \quad (4)$$

である。同様に、円弧曲面上の微小部分  $dS_2$  にかかるせん断抵抗より、この部分の抵抗モーメントを求める(3)式のようになる。よって土が測定板の転倒をさまたげようとする全抵抗モーメント  $M$  は(4)式のようになら。この  $M$  と測定板を転倒させようとするモーメン

$P \cdot l$  とが等しいとおき、(1)式より  $R_s$  を書き改めると(5)式のようになる。ここで土の状態を表わすものは

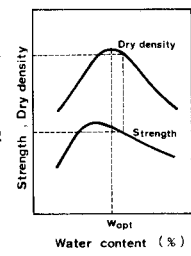


図-1 締固め曲線

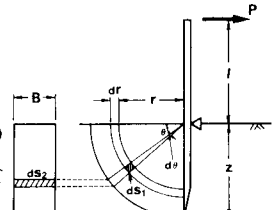


図-2 比掘削抵抗  $R_s$

$$R_s = \pi \cdot C \left( \frac{1}{3B} + \frac{1}{2Z} \right) + \gamma \left( \frac{Z}{2B} + 1 \right) \tan \phi \quad \dots (5)$$

Cヒ中であるが、砂質土を対象とする場合には、中の影響が大

である。この中と土のつまり具合についての研究は古くからおこなわれているが、最上によると(6)式が成り立つ。ただしこの式は、応力条件などに制約を受けるが、(強度)×(間

$$\sin \phi = \frac{k_a}{(1+e)} \quad \dots (6) \quad (\text{げきの大きさ}) = (-\text{一定})^2 \text{ という意味からこの式を用い}$$

(k: 定数, e: 土の間げき比) さらに、 $\gamma_a = G_s / (1+e)$  という関係より(5)式の中を

なにおきかえると(7)式のようになる。ただし、Wは土の含水比(%)である。一例として、 $G_s = 2.63$  の場合におきかえると(7)式のようになる。ただし、Wは土の含水比(%)である。

$$R_s = \pi \cdot C \left( \frac{1}{3B} + \frac{1}{2Z} \right) + \frac{100+W}{100} \frac{k_a \cdot \gamma_d}{\sqrt{(G_s/\gamma_a)^2 - k_a^2}} \left( \frac{Z}{2B} + 1 \right) \quad \dots (7)$$

ついで、粘着力Cによる影響を除いて  $R_s$  と  $\gamma_a$  の関

係を計算すると図-3のようになる。この計算結果より判断すると、 $\gamma_a$  の増加とともに  $R_s$  の値も増加している。密度が高くなり地盤が固くなると掘削しにくくなるので、この結果は当然と考えられる。

**4. 実験による検証** 次に実験をおこない、 $R_s$  の値が土の締固まり具合によりどのような影響を受けるかを調べた。実験装置としては、 $300 \times 200 \times 150$  mm の箱の一端に測定板をヒンジで取り付けたものを用い、この中に種々の締固め具合の土を入れ、 $R_s$  を測定した。実験で用いた試料は、混合土(比重 2.64)と豊浦標準砂(比重 2.63)で、その粒度分布は図-4のようである。また実験では、これらの土の含水比を 5~6 通りに変えて実験をおこなった。なお、試料土の締固めには、ランマを用いた。

この実験の結果を示すと図-5 のようになる。(a) は混合土、(b) は標準砂に対する実験結果である。明らかに  $R_s$  と  $\gamma_a$  の関係は計算の結果と同じような傾向を示し、土が締固まり  $\gamma_a$  が大きくなると  $R_s$  の値も大きくなっている。この結果からも、 $R_s$  測定により地盤の締固め度を判定することは可能と考えられる。ただし、同じ  $\gamma_a$  に対する  $R_s$  の値を実験結果と計算結果で比べると、実験結果の方がかなり大きい。これは計算では簡単のため粘着力の影響を無視していること、間げき比と中の関係を(6)式で簡単に表わ

しきぎたこと、ならびに測定板により破壊される土の領域を単純化しきぎたことにによるものと考えられる。図-5(a), (b) の両結果とも含水比により  $R_s$  と  $\gamma_a$  の関係は異なっている。そこで、図-5(a), (b) より、ある  $\gamma_a$  に対する  $R_s$  の値が含水比によりどのように変わるかを調べると図-6 のようになる。混合土では、W = 9 %、標準砂では、W = 12 %付近で  $R_s$  の値はピ-7を示している。これは、乾燥状態からしだいに含水比が増加していくに従い、土粒子間の結合力が強まり粘着力が大きくなるためであり、そしてある程度以上、水が多くなり間げきが飽和されてしまうと、かえって土粒子間の結合が弱まり強度が低下するためと考えられる。

このように同じ間げき比を有する土であっても含水状態により  $R_s$  の値は異なり、 $R_s$  測定により施工管理をおこなう場合には、含水比の測定をより綿密におこなわなければならない。しかし見方を変えれば、含水比と乾燥密度で施工管理をおこなう場合には、乾燥密度は施工基準を満たしていても含水比の微少量な変化やあるいは、締固め後の吸水により含水比が変化し、強度が低下していることも考えられる。特に、含水比の高い細粒土の締固めでは、過転圧現象が生じる可能性もあり、このような意味からも常時、 $R_s$  測定などの現位置での強度試験により施工管理をおこなうことが望ましいのではないかと考えられる。(参考文献、1)島昭治郎他:比掘削抵抗  $R_s$  による締固め効果の判定、土木学会関西支部講演集昭和57年; 2)諸戸靖史:石の内部摩擦角、土と基礎壁 1981年4月号)

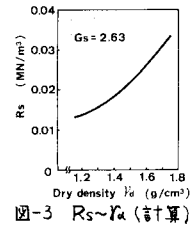


図-3  $R_s \sim \gamma_a$  (計算)

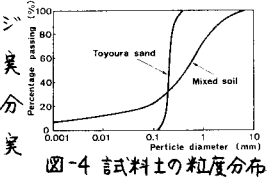


図-4 試料土の粒度分布

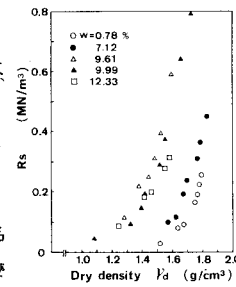


図-5 (a)  $R_s \sim \gamma_a$  (混合土)

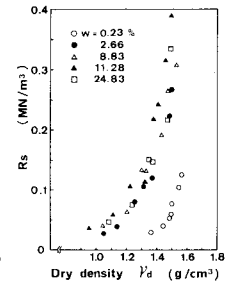


図-5 (b)  $R_s \sim \gamma_a$  (標準砂)

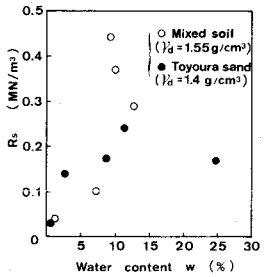


図-6  $R_s \sim w$  ( $\gamma_a = \text{一定}$ )